

ผลของการทาไพรเมอร์ต่อความแข็งแรงยึดติดเนื้อระหว่างแบร็กเกตจัดฟันกับวัสดุอุดอะมัลกัม Primer-Coating Effects on Shear Bond Strength between Orthodontic Bracket and Amalgam

วิรัช วงศ์สมุทร (Wittawat Wongsamut)* ดร.สิริ โนม สัตราวาหะ (Dr.Sirichom Satrawaha)**

ดร.กรชนก เว็ชชานนท์ (Dr.Kornchanok Wayakanon)***

บทคัดย่อ

วัตถุประสงค์ของการศึกษาเพื่อเปรียบเทียบค่าความแข็งแรงยึดติดเนื้อ เมื่อใช้ไพรเมอร์ต่างชนิดกันในการยึดแบร็กเกตจัดฟันกับวัสดุอุดอะมัลกัม โดยนำชิ้นงานอะมัลกัมขนาด $6*7*2$ มม.³ จำนวน 150 ชิ้น มาเป่าด้วยผงอะลูมินัมออกไซด์ แบ่งเป็น 5 กลุ่ม ได้แก่ กลุ่มที่ไม่ทาไพรเมอร์, กลุ่มที่ทาด้วยเมทัลไพรเมอร์, อัลลอยด์ไพรเมอร์, โมโนบอนด์เอ็น และแอสซัวร์พลัส ยึดแบร็กเกตด้วยทรานสบอนด์เอ็กซ์ที วัดค่าความแข็งแรงยึดติดเนื้อด้วยเครื่องทดสอบอเนกประสงค์ หาค่าดัชนีการหลงเหลือของวัสดุยึดติดและตรวจสอบความล้มเหลวของการยึดติดผ่านกล้องจุลทรรศน์สเตอริโอ วิเคราะห์ข้อมูลโดยการวิเคราะห์ความแปรปรวนแบบทางเดียวและการทดสอบไคสแควร์ ผลการศึกษาพบว่ามีความแตกต่างกันอย่างมีนัยสำคัญทางสถิติของค่าความแข็งแรงยึดติดเนื้อ ($p<0.05$) โดยกลุ่มแอสซัวร์พลัสให้ค่าความแข็งแรงยึดติดเนื้อสูงสุด และไม่มี ความแตกต่างกันอย่างมีนัยสำคัญของดัชนีส่วนเหลือสารยึดติดและความล้มเหลวของการยึดติด ($p>0.05$) จึงสรุปได้ว่าการทาไพรเมอร์ร่วมกับการเป่าทรายเป็นวิธีที่มีประสิทธิภาพในการเพิ่มความแข็งแรงยึดติดเนื้อในการยึดติดแบร็กเกตจัดฟันกับวัสดุอุดอะมัลกัม

ABSTRACT

The aim of this study was to compare the shear bond strength (SBS) of different primers to enhance the bonding between bracket and amalgam. One hundred and fifty amalgam specimens ($6*7*2$ mm³) were sandblasted by Al₂O₃, randomly divided to 5 groups: no metal primer, Metal Primer[®], Alloy Primer[®], Monobond N[®] and Assure Plus[®], bonded bracket with Transbond XT[®]. SBS test was performed by universal testing machine. Adhesive Remnant Index (ARI) and failure mode were determined under stereomicroscope. SBS, ARI and failure mode were analyzed by One-way ANOVA and Chi-square, respectively. There was statistically significant difference of SBS among different primers ($p<0.05$), in which an Assure Plus[®] group had the highest SBS, but no significant difference of ARI and failure mode ($p>0.05$). This study concluded using primer together with sandblasting technique was the effective method to enhance the bonding between bracket and amalgam.

คำสำคัญ: ไพรเมอร์ แบร็กเกต อะมัลกัม

Keywords: Primer, Bracket, Amalgam

* นิสิต หลักสูตรวิทยาศาสตรมหาบัณฑิต สาขาวิชาทันตกรรมจัดฟัน คณะทันตแพทยศาสตร์ มหาวิทยาลัยขอนแก่น

** อาจารย์ สาขาวิชาทันตกรรมจัดฟัน ภาควิชาทันตกรรมป้องกัน คณะทันตแพทยศาสตร์ มหาวิทยาลัยขอนแก่น

*** อาจารย์ สาขาวิชาทันตกรรมหัตถการ ภาควิชาทันตกรรมบูรณะ คณะทันตแพทยศาสตร์ มหาวิทยาลัยขอนแก่น

บทนำ

ในปัจจุบันการติดเครื่องมือทางทันตกรรมจัดฟัน เช่น แบร็กเกต นิยมใช้วิธียึดติดโดยตรง (direct bonding) เนื่องจากมีขั้นตอนไม่ยุ่งยาก ทำได้ง่าย ไม่รบกวนอวัยวะปริทันต์ สะดวกในการตรวจหารอยผุด้านประชิด ให้ความสวยงาม และไม่เกิดช่องว่างระหว่างฟันเมื่อมีการถอดเครื่องมือภายหลังเสร็จสิ้นการรักษา (Mandall et al., 2002) การยึดติดโดยตรงอาศัยการใช้กรดกัดหรือใช้เลเซอร์ ทำให้เกิดรูขนาดเล็บบนผิวเคลือบฟันเพื่อให้สารเรซินยึดติด (adhesive resin) สามารถแทรกลงไปรูพรุนบนผิวฟันนั้นได้ (Buonocore, 1955) สารเรซินยึดติดแบ่งได้ 3 ชนิด ตามวิธีการบ่มตัว ได้แก่ เรซินชนิดบ่มเอง (self-cured adhesives) เรซินชนิดบ่มด้วยแสง (light-cured adhesives) และเรซินที่บ่มตัวได้สองแบบ (dual-cured adhesives) โดยส่วนใหญ่มี Bis-GMA (bisphenol A-glycidyl dimethacrylate) เป็นส่วนประกอบ สารเรซินยึดติดที่ใช้ในการศึกษานี้คือ ทรานสบอนด์เอ็กซ์ที (Transbond XT[®]) เป็นเรซินชนิดบ่มด้วยแสง ทำให้มีเวลานานเพียงพอในการติดแบร็กเกต ช่วยให้ติดได้ตำแหน่งที่ถูกต้อง (Shukla et al., 2012) เกิดปฏิกิริยาพอลิเมอร์เซชัน ได้อย่างรวดเร็วเมื่อถูกกระตุ้นด้วยแสง และให้ค่าความแข็งแรงยึดติดเฉือนสูง (Kuntaraporn et al., 2008; Öztürk et al., 2008; Suwanwitid et al., 2014)

อย่างไรก็ดี การยึดแบร็กเกตด้วยวิธีการยึดติดโดยตรงบนผิวฟันที่มีความผิดปกติหรือมีวัสดุบูรณะ พบว่ามีค่าความแข็งแรงยึดติดต่ำและมีอัตราความล้มเหลวของการยึดติดสูง (William, 2001) โดยเฉพาะวัสดุบูรณะอะมัลกัม เนื่องจากการใช้กรดกัดไม่สามารถทำให้เกิดรูขนาดเล็บบนผิวอะมัลกัมได้ การเปลี่ยนจากอะมัลกัมที่อุดไว้เดิมไปเป็นวัสดุบูรณะชนิดอื่น เช่น เรซินคอมโพสิต อาจทำให้เกิดการระเหยของสารปรอท และทำให้เกิดการสูญเสียเนื้อฟันมากขึ้น จากการกำจัดสีและการเตรียมโพรงฟันเพื่อบูรณะ (Eley, Cox, 1987) ทันตแพทย์จัดฟันจึงมักเลือกใช้แถบรัดฟันในการติดเครื่องมือจัดฟันบนฟันที่บูรณะด้วยอะมัลกัมขนาดใหญ่ อย่างไรก็ตามการใช้แถบรัดฟันทำให้เกิดการสะสมของคราบจุลินทรีย์ ทำความสะอาดยาก เพิ่มความเสี่ยงในการเกิดฟันผุ เหงือกอักเสบ โรคปริทันต์ รวมทั้งเมื่อเสร็จสิ้นการรักษา การถอดแถบรัดฟันจะทำให้เกิดช่องว่างระหว่างฟันหลงเหลืออยู่ (Boyd, Baumrind, 1992)

การศึกษาที่ผ่านมาพบว่า การปรับสภาพพื้นผิวอะมัลกัมก่อนยึดแบร็กเกตด้วยวิธียึดติดโดยตรง ช่วยเพิ่มค่าความแข็งแรงยึดติดให้สูงขึ้นได้ สามารถทำได้โดยการเตรียมพื้นผิวทางกล (mechanical surface treatment) เช่น การเป่าด้วยผงอะลูมินัม ออกไซด์ การใช้หัวกรอกากเพชร การใช้เลเซอร์ทางทันตกรรม เพื่อให้เกิดความขรุขระบนผิววัสดุขึ้น โดยมีการศึกษาพบว่า การเป่าทรายเป็นวิธีการสร้างความขรุขระให้กับพื้นผิว ที่ให้ค่าความแข็งแรงยึดติดสูงสุด (Zachrisson et al., 1995; Nergiz et al., 2004) อีกวิธีการหนึ่งในการปรับสภาพพื้นผิวอะมัลกัมคือการเตรียมพื้นผิวทางเคมี (chemical surface treatment) ได้แก่ การใช้ไพรเมอร์ (primer) เพื่อให้เกิดการยึดติดทางเคมีกับพื้นผิววัสดุบูรณะและสารเรซินยึดติด (Zachrisson et al., 1993, 1995; Jost-Brinkmann, et al., 1996; Gross et al., 1997; Sperber et al., 1999; Setcos et al., 1999; Gianni et al., 2002; Nergiz et al., 2004; Kuntharaporn et al., 2008; Germec et al., 2009; Fonseca et al., 2009; Oskoe et al., 2012; Yetkiner et al., 2014)

ไพรเมอร์คือมอนอเมอร์ (Monomer) ที่ละลายอยู่ในตัวทำละลาย ไพรเมอร์แต่ละชนิดจะมีมอนอเมอร์ที่แตกต่างกัน มอนอเมอร์มีองค์ประกอบแบ่งได้เป็น 2 กลุ่ม คือ กลุ่มที่เกิดพอลิเมอร์กับสารเรซินยึดติด (polymerizable group) และกลุ่มฟังก์ชัน (functional group) ซึ่งจะเกิดการยึดติดทางเคมีกับชั้นออกไซด์ของโลหะ เช่น กลุ่มฟอสเฟต, กลุ่มคาร์บอกซิล และ กลุ่มซัลฟอนิก เป็นต้น ด้วยองค์ประกอบของมอนอเมอร์นี้ ทำให้ไพรเมอร์สามารถช่วยเพิ่มความแข็งแรงยึดติดระหว่างสารเรซินยึดติดกับอะมัลกัมได้ (Van Landuyt et al., 2007) จนถึงปัจจุบันการศึกษาเกี่ยวกับการใช้ไพรเมอร์เพื่อช่วยในการยึดแบร็กเกตกับอะมัลกัมยังมีไม่มากนักและไม่ครอบคลุมไพรเมอร์ชนิดใหม่ๆ ที่มีออกมาในท้องตลาด

ไพรเมอร์บางชนิดที่บริษัทผู้ผลิตอ้างว่าเป็นสารที่สามารถช่วยในการยึดติดพื้นผิวได้หลายชนิด (universal primer) หรือบางชนิดที่ถูกพัฒนาเพื่อช่วยยึดกับพื้นผิวโลหะเท่านั้น (metal primer) ซึ่งรวมถึงอะมัลกัม ยังไม่ได้มีการศึกษาเช่นกัน

วัตถุประสงค์การวิจัย

เพื่อเปรียบเทียบค่าความแข็งแรงยึดติดเนื่องจากการใช้ไพรเมอร์ที่แตกต่างกัน 4 ผลิตภัณฑ์ ในการช่วยยึดแบร์ริคเกตจัดฟันกับวัสดุอุดอะมัลกัม รวมทั้งเปรียบเทียบดัชนีส่วนเหลือสารยึดติดและความล้มเหลวของการยึดติด โดยทำการทดลองในห้องปฏิบัติการ

วิธีการวิจัย

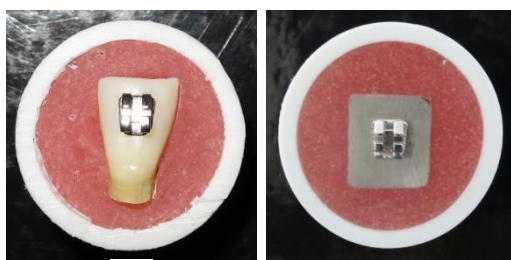
การเตรียมชิ้นงานฟันตัดมนุษย์ (กลุ่มควบคุมบวก)

เก็บฟันตัดที่ได้จากการถอนฟันจำนวน 30 ซี่ (ผู้ป่วยเป็นโรคปริทันต์อักเสบและไม่มีรอยฟุ่ทั้งในระยะเริ่มแรกและระยะลุกลาม) ในสารละลายไทมอลความเข้มข้นร้อยละ 0.1 ทำการตัดฟันให้เหลือเฉพาะส่วนตัวฟัน และนำส่วนตัวฟันฝังลงในอะคริลิกเรซินชนิดบ่มตัวเอง (self-cure acrylic resin) ให้ด้านริมฝีปากของฟันโผล่เหนือระดับของอะคริลิกเรซิน เมื่ออะคริลิกเรซินแข็งตัว ทำความสะอาดผิวฟันโดยการขัดด้วยผงพัมมิช (Pumice), ทากรดฟอสฟอริกความเข้มข้นร้อยละ 37 (Unitek® etching gel) เป็นเวลา 30 วินาที, ล้างน้ำเป็นเวลา 20 วินาที เป่าให้แห้งจนมีลักษณะขาวขุ่น และทำการยึดแบร์ริคเกตโลหะฟันตัดล่าง พื้นี่ฐาน 8.91 ม.ม.³ (Unitek®; 3M Unitek, california, USA) ด้วยสารเรซินยึดติด ทรานส์บอนด์เอ็กซ์ที (Transbond XT®; 3M Unitek, california, USA) ฉายแสงให้วัสดุแข็งตัวด้วยเครื่องฉายแสงมินิแอลอีดี ความยาวคลื่น 420-480 นาโนเมตร (Mini L.E.D.®; Acteon, Merignac, France) ทางด้านใกล้กลางและไกลกลางของแบร์ริคเกตด้านละ 20 วินาที โดยมีระยะห่างจากแบร์ริคเกต 3 มิลลิเมตร จากนั้นนำไปแช่ในน้ำกลั่น อุณหภูมิ 37 องศาเซลเซียส เป็นเวลา 24 ชั่วโมง

การเตรียมชิ้นงานอะมัลกัม

เตรียมช่องขนาด 6*7*2 ม.ม.³ ในอะคริลิกเรซินชนิดบ่มตัวเอง (self-cured acrylic resin) จำนวน 150 ซีน และทำการอุดอะมัลกัม (KerrAlloy®; Kerr, Illinois, USA) ลงในช่องที่เตรียมไว้ หลังจากอะมัลกัมแข็งตัวเป็นเวลา 24 ชั่วโมง ชิ้นงานอะมัลกัมทั้งหมดจะถูกนำไปขัดด้วยกระดาษทรายเบอร์ 1200 และนำไปแช่ในน้ำกลั่น อุณหภูมิ 37 องศาเซลเซียส เป็นเวลา 24 ชั่วโมง นำชิ้นงานทั้งหมดไปเป่าด้วยผงอะลูมิเนียมออกไซด์ขนาด 50 ไมครอน เป็นเวลา 3 วินาที ที่ระยะห่าง 10 มิลลิเมตร ภายใต้อุณหภูมิ 7 ก.ก./ซ.ม.² (เครื่องเป่าทราย; Parkell Inc, New York, USA) (Sperber et al., 1999)

ทำการสุ่มแบ่งชิ้นงานทั้งหมดออกเป็น 5 กลุ่มตามการใช้ไพรเมอร์ ได้แก่ กลุ่มที่ไม่ได้ทาไพรเมอร์ (กลุ่มควบคุมลบ), กลุ่มที่ทาด้วยเมทัลไพรเมอร์ (Metal Primer®; MP), กลุ่มที่ทาด้วยอัลลอยด์ไพรเมอร์ (Alloy Primer®; AP), กลุ่มที่ทาด้วยโมโนบอนด์เอ็น (Monobond N®; MN) และกลุ่มที่ทาด้วยแอสชัวร์พลัส (Assure Plus®; As) หลังจากทาด้วยไพรเมอร์ (ส่วนประกอบและบริษัทผู้ผลิตแสดงดังตารางที่ 1) ตามคำแนะนำของบริษัท จะทำการติดแบร์ริคเกตโลหะฟันตัดล่างด้วยวิธีการและวัสดุยึดติดชนิดเดียวกันกับการเตรียมชิ้นงานฟันตัดมนุษย์ หลังจากนั้นนำไปแช่ในน้ำกลั่น อุณหภูมิ 37 องศาเซลเซียส เป็นเวลา 24 ชั่วโมง



ก

ข

รูปที่ 1 ลักษณะของชิ้นงานที่ใช้ในการศึกษานี้ ก. ชิ้นงานฟันตัดมนุษย์, ข. ชิ้นงานอะมัลกัม

ตารางที่ 1 ไพรเมอร์ที่ใช้ในการศึกษานี้

ชื่อผลิตภัณฑ์	มอนอเมอร์	บริษัทผู้ผลิต
Monobond N [®] (MN)	Silane methacrylate, phosphoric methacrylate and sulfide methacrylate	Ivoclar Vivadent AG (Schaan, Liechtenstein)
Metal primer [®] (MP)	MMA, 4-META	Reliance orthodontic products (Illinois, USA)
Alloy primer [®] (AP)	10-MDP, VBATDT	Kuraray Medical (Tokyo, Japan)
Assure Plus [®] (As)	HEMA, MDP, TEGDMA, Bis-GMA	Reliance orthodontic products (Illinois, USA)
Transbond XT primer [®]	TEGDMA, Bis-GMA	3M Unitek (california, USA)

ชิ้นงานทั้งหมดจะถูกนำไปผ่านเครื่องควบคุมอุณหภูมิร้อนเย็นเป็นจังหวะ (Thermocycling machine; TC301 Medical & Environmental Equipment Research Laboratory, Bangkok, Thailand) ที่อุณหภูมิ 5-50 องศาเซลเซียส เวลา 15 วินาทีในแต่ละอย่าง ระยะเวลาในการเปลี่ยนอย่าง 10 วินาที (Sperber et al., 1999) จำนวน 2000 รอบ

การทดสอบและการเก็บข้อมูลค่าความแข็งแรงยึดติดเนื้อ, ดัชนีส่วนเหลือสารยึดติด และความล้มเหลวของการยึดติด

หลังจากผ่านเครื่องควบคุมอุณหภูมิแล้ว ทำการเขียนขอบเขตรอบแบร์ริคเกิดด้วยปากกาหมึกถาวร และนำไปทดสอบความแข็งแรงยึดติดเนื้อด้วยเครื่องทดสอบอเนกประสงค์ (Instron 8872; Instron corp, Bucks, UK) โดยติดตั้งชิ้นงานให้ขนานกับหัวสี่ขนาด 50 กิโลกรัม ความเร็ว 1 มิลลิเมตร/วินาที เมื่อแบร์ริคเกิดหลุดจะทำการบันทึกค่าความแข็งแรงยึดติดเนื้อ จากนั้นนำชิ้นงานอะมัลกัมและฐานแบร์ริคเกิดมาส่งดูด้วยกล้องจุลทรรศน์สเตอริโอ (Olympus SZH10; Hatagaya, Shibuya-ku, Tokyo, Japan) ที่กำลังขยาย 25 เท่า เพื่อศึกษาดัชนีส่วนเหลือสารยึดติด (adhesive remnant index; ARI score) และความล้มเหลวของการยึดติด โดยมีหลักการพิจารณาค่าดัชนีดังนี้ (Årtun, Bergland, 1984)

ระดับ 0 = ไม่มีสารเรซินยึดติดหลงเหลืออยู่บนชิ้นงานอะมัลกัม/ฟัน

ระดับ 1 = มีสารเรซินยึดติดน้อยกว่าร้อยละ 50 หลงเหลืออยู่บนชิ้นงานอะมัลกัม/ฟัน

ระดับ 2 = มีสารเรซินยึดติดมากกว่าร้อยละ 50 หลงเหลืออยู่บนชิ้นงานอะมัลกัม/ฟัน

ระดับ 3 = สารเรซินยึดติดทั้งหมดอยู่บนชิ้นงานอะมัลกัม/ฟัน

และมีหลักการพิจารณาความล้มเหลวของการยึดติดดังนี้
ความล้มเหลวของการยึดติด (adhesive failure) แบ่งเป็น
ความล้มเหลวที่เกิดขึ้นระหว่างสารเรซินยึดติดกับพื้นผิวอะมัลกัม/ฟัน คือ พบสารเรซินยึดติดทั้งหมดที่ฐาน
แบร์ริเกต โดยไม่พบสารเรซินยึดติดบนชิ้นงานอะมัลกัม/ฟัน

ความล้มเหลวที่เกิดขึ้นระหว่างสารเรซินยึดติดกับฐานแบร์ริเกต คือ พบสารเรซินยึดติดทั้งหมดบนพื้นผิว
อะมัลกัม/ฟัน โดยไม่พบสารเรซินยึดติดบนฐานแบร์ริเกต

ความล้มเหลวของสารเรซินยึดติด (cohesive failure) คือ พบสารเรซินยึดติดครอบคลุมพื้นที่ทั้งหมดของฐาน
แบร์ริเกตทั้งหมดและชิ้นงานอะมัลกัม/ฟัน

ความล้มเหลวแบบผสม (mixed-mode failure) คือ พบสารเรซินยึดติดที่ฐานแบร์ริเกตและชิ้นงานอะมัลกัม/
ฟัน ในลักษณะที่ไม่ครอบคลุมด้านใดด้านหนึ่งทั้งหมด

ทำการสุ่มฐานแบร์ริเกตและชิ้นงานอะมัลกัม/ฟัน กลุ่มละ 3 ชิ้นงาน เพื่อนำมาพิจารณาดัชนีส่วนเหลือสารยึด
ติดและความล้มเหลวของการยึดติดซ้ำ ภายหลังจากพิจารณาครั้งแรกเป็นเวลาอย่างน้อย 1 อาทิตย์

การวิเคราะห์พื้นผิวอะมัลกัมด้วยกล้องจุลทรรศน์อิเล็กตรอน (scanning electron microscope; SEM)

เพื่อศึกษาการเปลี่ยนแปลงที่เกิดขึ้นบนพื้นผิวอะมัลกัม หลังจากการเตรียมพื้นผิวด้วยการเป่าทรายและทาไฟรเมอร์
จะทำการสุ่มชิ้นงานอะมัลกัมในแต่ละกลุ่มจำนวน 2 ชิ้น เก็บชิ้นงานไว้ในที่อุณหภูมิห้อง เป็นเวลา 24 ชั่วโมง จนชิ้นงาน
แห้งสนิท แล้วนำชิ้นงานทั้งหมดเคลือบด้วย ทอง/แพลเลเดียม และนำมาส่องดูด้วยกล้องจุลทรรศน์อิเล็กตรอน
(Leo1455VP; Leo electron microscopy group, Oberkochen, Germany) ที่กำลังขยาย 1000 เท่า

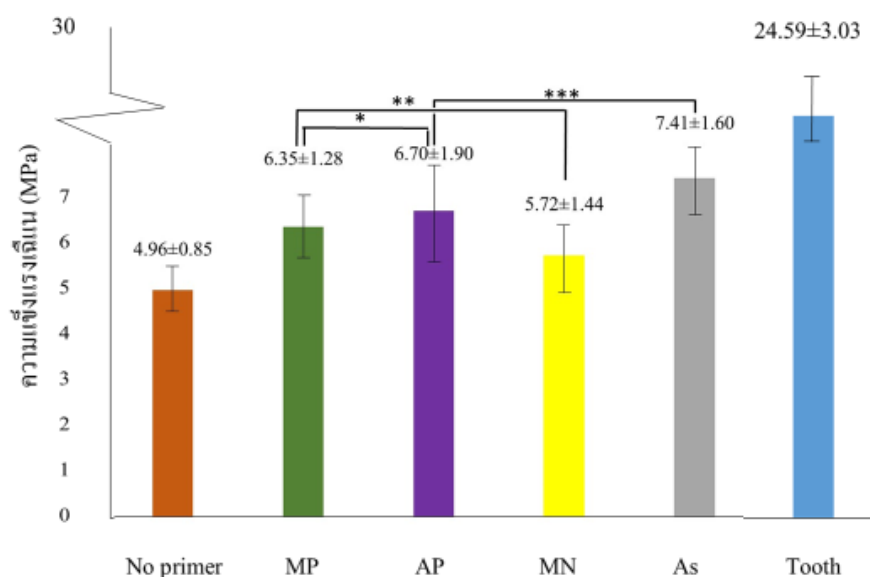
การทดสอบทางสถิติ

นำข้อมูลมาวิเคราะห์ด้วยโปรแกรมเอสพีเอสเอสเวอร์ชัน 22 (SPSS Version 22) เปรียบเทียบค่าความแข็งแรงยึดติด
เนื่องระหว่างกลุ่มด้วยการวิเคราะห์ความแปรปรวนแบบทางเดียว (One-way ANOVA) และทดสอบภายหลังการ
วิเคราะห์ความแปรปรวนแบบทางเดียวเพื่อหาความแตกต่างของค่าความแข็งแรงยึดติดเนื่องแต่ละคู่ด้วยฟิชเชอร์แอล
เอส ดี (Fisher's LSD), เปรียบเทียบดัชนีส่วนเหลือสารยึดติดและความล้มเหลวของการยึดติดระหว่างกลุ่มด้วยการ
ทดสอบไคสแควร์ (Chi-square test) และทดสอบความเที่ยงภายในผู้ประเมิน (Intra-rater reliability) ในการพิจารณา
ดัชนีส่วนเหลือสารยึดติดและความล้มเหลวของการยึดติด ด้วยสัมประสิทธิ์สหสัมพันธ์ภายในชั้น (Intraclass
correlation coefficient) โดยทุกการวิเคราะห์พิจารณาที่ระดับนัยสำคัญ 0.05

ผลการวิจัย

การทดสอบค่าความแข็งแรงยึดติดเนื่องของแบร์ริเกตโลหะกับอะมัลกัม

ค่าเฉลี่ย, ส่วนเบี่ยงเบนมาตรฐาน ของค่าความแข็งแรงยึดติดเนื่อง แสดงไว้ในรูปที่ 2 จากการทดสอบด้วยการ
วิเคราะห์ความแปรปรวนแบบทางเดียวพบว่า ค่าความแข็งแรงยึดติดเนื่องระหว่างกลุ่มอะมัลกัมมีความแตกต่างกันอย่าง
มีนัยสำคัญทางสถิติ ($p < 0.05$) โดยกลุ่มอะมัลกัมที่ไม่ได้ทาไฟรเมอร์ให้ค่าความแข็งแรงยึดติดเนื่องต่ำสุด และ
กลุ่มอะมัลกัมที่ทำด้วยแอสซัวร์พลัสให้ค่าความแข็งแรงยึดติดเนื่องสูงสุด อย่างไรก็ตาม ไม่พบความแตกต่างกันอย่างมี
นัยสำคัญทางสถิติระหว่างกลุ่มอะมัลกัมที่ทำด้วยแอสซัวร์พลัสและกลุ่มที่ทำด้วยอัลลอยด์ไฟรเมอร์ ($p = 0.06$), ระหว่าง
กลุ่มที่ทำด้วยอัลลอยด์ไฟรเมอร์และกลุ่มที่ทำด้วยเมทัลไฟรเมอร์ ($p = 0.35$) และระหว่างกลุ่มที่ทำด้วยเมทัลไฟรเมอร์และ
กลุ่มที่ทำด้วยโมโนบอนด์เอ็น ($p = 0.09$)



รูปที่ 2 ค่าเฉลี่ย, ส่วนเบี่ยงเบนมาตรฐานของค่าความแข็งแรงยึดติดเนื้อ (หน่วยเมกะปาสคาล);

*** มีค่าความแข็งแรงยึดติดเนื้อสูงกว่ากลุ่มอะมัลกัมที่ไม่ได้ทาไพรเมอร์ และกลุ่มโมโนบอนด์เอ็นอย่างมีนัยสำคัญทางสถิติ ($p < 0.05$) โดยไม่มีความแตกต่างกันอย่างมีนัยสำคัญระหว่างกลุ่ม ($p = 0.06$)

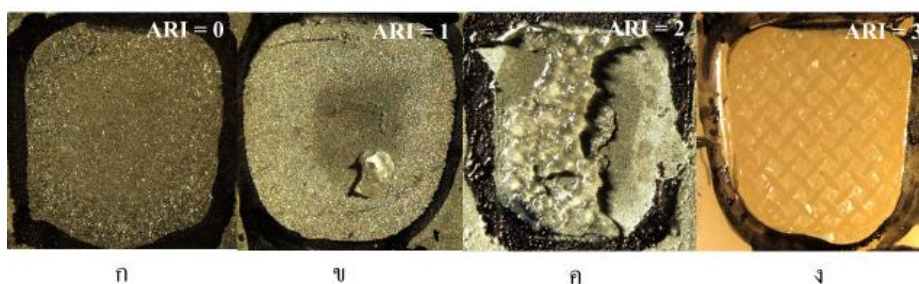
** มีค่าความแข็งแรงยึดติดเนื้อสูงกว่ากลุ่มอะมัลกัมที่ไม่ได้ทาไพรเมอร์ แต่น้อยกว่ากลุ่มอัลลอยไพรเมอร์และแอสซัวร์พลัสอย่างมีนัยสำคัญทางสถิติ ($p < 0.05$) โดยไม่มีความแตกต่างกันอย่างมีนัยสำคัญระหว่างกลุ่ม ($p = 0.09$)

* มีค่าความแข็งแรงยึดติดเนื้อสูงกว่ากลุ่มอะมัลกัมที่ไม่ได้ทาไพรเมอร์อย่างมีนัยสำคัญทางสถิติ ($p < 0.05$) โดยไม่มีความแตกต่างกันอย่างมีนัยสำคัญระหว่างกลุ่ม ($p = 0.35$)

ดัชนีส่วนเหลือสารยึดติดและความล้มเหลวของการยึดติด

ลักษณะของดัชนีส่วนเหลือสารยึดติดและความล้มเหลวของการยึดติดจากกล้องจุลทรรศน์สเตอริโอกำลังขยาย 25 เท่า แสดงไว้ในรูปที่ 3 และ 4 จากการศึกษาดัชนีส่วนเหลือสารยึดติด พบว่าในการศึกษานี้พบดัชนีที่ระดับ 0-3 โดยมีดัชนีส่วนใหญ่อยู่ที่ระดับ 1 และพบดัชนีระดับ 3 เฉพาะในกลุ่มฟันคุดมนุษย์เท่านั้น ดังแสดงในตารางที่ 2 และพบความล้มเหลวของการยึดติดแบบผสมเป็นส่วนใหญ่ โดยพบความล้มเหลวยึดติดระหว่างสารเรซินยึดติดกับฐานแบร์กเกต เฉพาะกลุ่มฟันมนุษย์เท่านั้น ดังแสดงในตารางที่ 3 โดยเมื่อเปรียบเทียบดัชนีส่วนเหลือสารยึดติดและความล้มเหลวของการยึดติดระหว่างกลุ่มอะมัลกัม ไม่พบความแตกต่างกันอย่างมีนัยสำคัญทางสถิติ ($p = 0.36$ และ $p = 0.52$ ตามลำดับ)

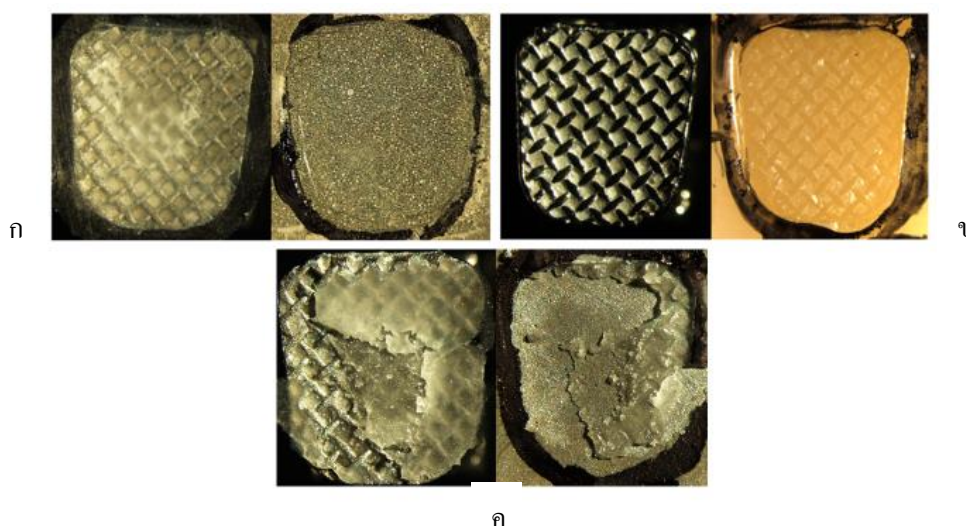
นอกจากนี้ จากการทดสอบค่าสัมประสิทธิ์สหสัมพันธ์ภายในชั้นของดัชนีส่วนเหลือสารยึดติดและความล้มเหลวของการยึดติด พบว่ามีค่าเท่ากับ 1 ซึ่งแสดงว่ามีความเที่ยงภายในผู้ประเมินสูง



รูปที่ 3 ลักษณะของดัชนีส่วนเหลือสารยึดติดที่พบในการศึกษานี้; ก. ระดับ 0 (ไม่มีสารเรซินยึดติดหลงเหลืออยู่บนชิ้นงานอะมัลกัม/พื้น), ข. ระดับ 1 (มีสารเรซินยึดติดน้อยกว่าร้อยละ 50 หลงเหลืออยู่บนชิ้นงานอะมัลกัม/พื้น), ค. ระดับ 2 (มีสารเรซินยึดติดมากกว่าร้อยละ 50 หลงเหลืออยู่บนชิ้นงานอะมัลกัม/พื้น), ง. ระดับ 3 (สารเรซินยึดติดทั้งหมดอยู่บนชิ้นงานพื้นมนุษย์)

ตารางที่ 2 ความถี่ (ร้อยละ) ของดัชนีส่วนเหลือสารยึดติด

กลุ่ม	ดัชนีส่วนเหลือสารยึดติด			
	0	1	2	3
พื้นคัลมนุษย์	13	57	20	10
No primer	13	87	-	-
Monobond N [®] (MN)	3	93	3	-
Metal primer [®] (MP)	10	90	-	-
Alloy primer [®] (AP)	10	87	3	-
Assure Plus [®] (As)	3	93	3	-



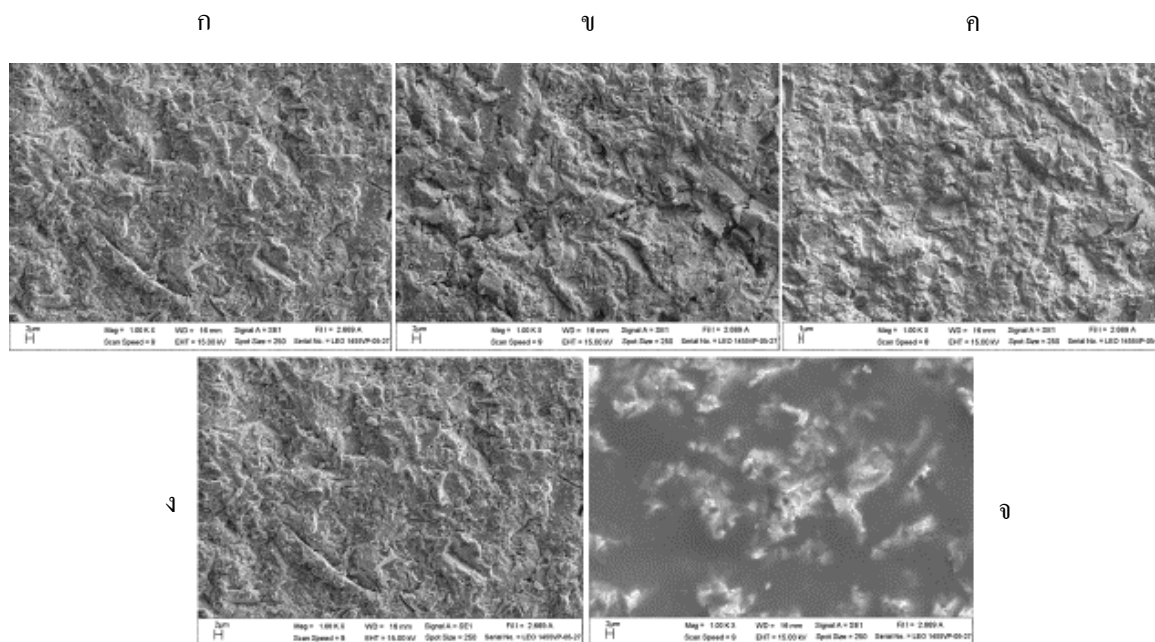
รูปที่ 4 ลักษณะของความล้มเหลวของการยึดติดที่พบในการศึกษานี้ ก.ความล้มเหลวของการยึดติดระหว่างวัสดุยึดติดกับอะมัลกัม (ดัชนีส่วนเหลือสารยึดติดระดับ 0), ข.ความล้มเหลวของการยึดติดระหว่างสารเรซินยึดติดกับฐานแบร์ริเกต (ดัชนีส่วนเหลือสารยึดติดระดับ 3), ค.ความล้มเหลวของการยึดติดแบบผสม (ดัชนีส่วนเหลือสารยึดติดระดับ 1 และ 2)

ตารางที่ 3 ความถี่ (ร้อยละ) ของความล้มเหลวของการยึดติด

กลุ่ม	ชนิดของความล้มเหลวของการยึดติด			
	ระหว่างสารเรซิน ยึดติดกับพื้นผิว อะมัลกัม	ระหว่างสารเรซิน ยึดติดกับฐาน แบรีคเกต	ความล้มเหลว ภายในสารยึดติด	ความล้มเหลว แบบผสม
	พื้นตัมมนุษย์	10	13	-
No primer	13	-	-	87
Monobond N [®] (MN)	3	-	-	97
Metal primer [®] (MP)	10	-	-	90
Alloy primer [®] (AP)	10	-	-	90
Assure Plus [®] (As)	3	-	-	97

ลักษณะของพื้นผิวที่ส่องด้วยกล้องจุลทรรศน์อิเล็กตรอน

พื้นผิวของอะมัลกัมที่ได้รับการเป่าทรายจากกล้องจุลทรรศน์อิเล็กตรอน พบลักษณะของพื้นผิวที่ขรุขระทั้งในกลุ่มที่ไม่ได้ทาไพรเมอร์และทาไพรเมอร์ ยกเว้นกลุ่มที่ทำด้วยเอสซัวร์พลัส พบลักษณะของพื้นผิวที่เรียบปะปนอยู่กับพื้นผิวที่ขรุขระ คล้ายกับการมีสารเติมลงไปในหลุมที่เกิดขึ้นจากการเป่าทราย ดังแสดงในรูปที่ 4



รูปที่ 4 ลักษณะพื้นผิวอะมัลกัมจากกล้องจุลทรรศน์อิเล็กตรอนกำลังขยาย 1000 เท่า; ก. กลุ่มที่ไม่ได้ทาไพรเมอร์, ข. กลุ่มที่ทำด้วยเมทัลไพรเมอร์, ค. กลุ่มที่ทำด้วยอัลลอยด์ไพรเมอร์, ง. กลุ่มที่ทำด้วยโมโนบอนด์เอ็น, จ. กลุ่มที่ทำด้วยเอสซัวร์พลัส

อภิปรายและสรุปผลการวิจัย

จากผลการทดลองพบว่าค่าความแข็งแรงยึดติดเดือนระหว่างแบร์คเกิดกับอะมัลกัมมีค่าน้อยกว่าการยึดกับผิวฟันปกติซึ่งสอดคล้องกับการศึกษาที่ผ่านมา (Kuntharapom et al., 2008; Oskoe et al., 2012; Yetkiner et al., 2014) การศึกษาของ Power และคณะ พบว่าความแข็งแรงยึดติดระหว่างแบร์คเกิดกับอะมัลกัมมีค่า 3.0-5.0 MPa ในขณะที่การยึดติดกับผิวเคลือบฟันปกติมีค่า 6.0-18.0 MPa (Power et al., 1997) การศึกษาในห้องปฏิบัติการของ Reynold ในปี 1975 ได้รายงานค่าความแข็งแรงยึดติดเดือนที่เหมาะสมสำหรับการรักษาทางทันตกรรมจัดฟัน ว่าควรมีค่าประมาณ 5.9-7.9 เมกะปาสคาล ซึ่งผลการศึกษานี้พบว่าอะมัลกัมที่ไม่ได้ทาไพรเมอร์มีค่าความแข็งแรงยึดติดเดือนเฉลี่ย 4.96 เมกะปาสคาล ซึ่งมีค่าต่ำกว่าค่าที่ได้แนะนำไว้ ในขณะที่ค่าความแข็งแรงยึดติดเดือนของอะมัลกัมที่ทาไพรเมอร์มีค่าประมาณ 5.72-7.41 เมกะปาสคาล โดยกลุ่มอะมัลกัมที่ทาด้วยแอสซัวร์พลัสให้ค่าความแข็งแรงยึดติดเดือนสูงที่สุด

แอสซัวร์พลัส เป็นไพรเมอร์ที่ช่วยในการยึดติดพื้นผิวได้หลายชนิด มีมอนอเมอร์หลายตัวเป็นองค์ประกอบ ได้แก่ MDP ซึ่งจะเกิดปฏิกิริยาทางเคมีกับไฮดรอกซีอะพาไทท์ และเกิดการยึดทางเคมีจากหมู่ฟอสเฟตของ MDP กับชั้นออกไซด์ของโลหะ ไม่มีค่า ซึ่งรวมถึงอะมัลกัมด้วย (Inoue et al., 2005; Fukegawa et al., 2006) และการศึกษาก่อนหน้านี้พบว่า MDP มีเสถียรภาพมากกว่า 4-META (Yoshida et al., 2004) และ MMA (Yoshida et al., 2012) ซึ่งเป็นมอนอเมอร์ในเมทัลไพรเมอร์และโมโนบอนด์เอ็น นอกจากนี้แอสซัวร์พลัสยังมี HEMA, TEGDMA และ Bis-GMA เป็นส่วนประกอบด้วย Bis-GMA เป็นมอนอเมอร์ที่มีขนาดใหญ่ มีน้ำหนักโมเลกุล 512 กรัม/โมล จึงทำให้มีความหนืดมากกว่าไพรเมอร์ชนิดอื่น และทำให้เกิดลักษณะตื้นขึ้นของร่องหลุมที่เกิดจากการเป่าทรายได้ HEMA เป็นมอนอเมอร์ที่ชอบน้ำ (hydrophilic) สามารถช่วยลดแรงดึงผิวของพื้นผิววัสดุได้ (Asmussen, Peutzfeldt, 1998) มีการศึกษาประสิทธิภาพของปริมาณ HEMA ที่เหมาะสมของวัสดุกลาสไอโอโนเมอร์ซีเมนต์ พบว่าค่าความแข็งแรงยึดติดเดือนเพิ่มขึ้นอย่างต่อเนื่องเมื่อปริมาณของ HEMA เพิ่มขึ้น (Lim et al., 2009) อย่างไรก็ตาม ค่าความแข็งแรงยึดติดเดือนของอะมัลกัมที่ทาด้วยแอสซัวร์พลัสไม่มีความแตกต่างกันอย่างมีนัยสำคัญทางสถิติเมื่อเปรียบเทียบกับอะมัลกัมที่ทาด้วยอัลลอยไพรเมอร์ อาจเนื่องมาจากแอสซัวร์พลัสและอัลลอยไพรเมอร์มีมอนอเมอร์ชนิดเดียวกันเป็นองค์ประกอบคือ MDP และน่าจะเป็นเพราะเหตุนี้กลุ่มอะมัลกัมที่ทาด้วยอัลลอยไพรเมอร์และแอสซัวร์พลัสมีค่าความแข็งแรงยึดติดเดือนมากกว่าอะมัลกัมที่ทาด้วยไพรเมอร์ชนิดอื่น

ลักษณะพื้นผิวอะมัลกัมจากการส่องด้วยกล้องจุลทรรศน์อิเล็กตรอน พบว่ามีลักษณะพื้นผิวที่ขรุขระจากการเป่าด้วยผงอะลูมินัม ออกไซด์ ซึ่งสอดคล้องกับการศึกษาก่อนหน้านี้ (Sperber et al., 1999) โดยพบลักษณะดังกล่าวทั้งในกลุ่มอะมัลกัมที่ไม่ได้ทาไพรเมอร์และทาไพรเมอร์ ยกเว้นกลุ่มอะมัลกัมที่ทาด้วยแอสซัวร์พลัสที่พบลักษณะตื้นขึ้นของร่องหลุมที่เกิดจากการเป่าทราย อย่างไรก็ตามยังไม่มีการศึกษาก่อนหน้านี้ที่ส่องดูพื้นผิวของวัสดุบูรณะที่ได้รับการทาด้วยแอสซัวร์พลัส ถึงแม้ว่าลักษณะดังกล่าวน่าจะทำให้พื้นผิวของอะมัลกัมกลุ่มนี้มีความขรุขระน้อยกว่ากลุ่มอื่น แต่ค่าความแข็งแรงยึดติดเดือนกลับมีค่าสูงที่สุด จึงเป็นที่น่าสนใจทำการศึกษาเพิ่มเติมถึงการเกิดพันธะเคมีที่เกิดขึ้นระหว่างแอสซัวร์พลัสกับพื้นผิวอะมัลกัม รวมถึงการนำไพรเมอร์ไปใช้ช่วยยึดติดระหว่างแบร์คเกิดกับครอบฟันที่ทำมาจากโลหะที่มีองค์ประกอบคล้ายคลึงกันในการศึกษาต่อไป

การศึกษาก่อนหน้านี้พบว่าความล้มเหลวของการยึดติดระหว่างแบร์คเกิดกับอะมัลกัม ส่วนใหญ่เกิดขึ้นระหว่างพื้นผิวอะมัลกัมและสารเรซินยึดติด และค่าดัชนีส่วนเหลือสารยึดติดอยู่ในระดับ 0 (Gross et al., 1997; Sperber et al., 1999; Kuntharapom et al., 2008; Germec et al., 2009; Oskoe et al., 2012; Yetkiner et al., 2014) ซึ่งการศึกษานี้พบว่าความล้มเหลวของการยึดติดส่วนใหญ่เป็นแบบผสม และค่าดัชนีส่วนเหลือสารยึดติดส่วนใหญ่อยู่ในระดับ 1 ซึ่งอาจเป็น

เพราะผลของการเป่าด้วยผงอะลูมิเนียมออกไซด์ร่วมกับการใช้ไฟโรเมอร์ที่พัฒนาขึ้นมาใหม่ สามารถช่วยให้มีการยึดติดของสารยึดติดที่ดีขึ้นบนวัสดุบูรณะอะมัลกัม

โดยสรุปแล้วการศึกษานี้พบว่า การเป่าทรายร่วมกับการใช้ไฟโรเมอร์เป็นวิธีการที่มีประสิทธิภาพในการยึดแบร์ริคเกตโลหะกับพื้นผิวอะมัลกัม และมีความแข็งแรงยึดติดเดือนที่เพียงพอสำหรับการรักษาทางทันตกรรมจัดฟัน

กิตติกรรมประกาศ

ผู้วิจัยขอขอบพระคุณ บัณฑิตศึกษา มหาวิทยาลัยขอนแก่น ที่ให้การสนับสนุนงบประมาณสำหรับงานวิจัยของขอบพระคุณ บริษัท 3 เอ็มยูนิเท็ก ที่ให้ความอนุเคราะห์ทรานสบอนด์เอ็กซีที และแบร์ริคเกต บริษัท ออโทคอนดิกไลน์ บริษัท แอคทีออน และบริษัท ยูนิดีเคนทัล ที่ให้ความอนุเคราะห์ไฟโรเมอร์ สำหรับการศึกษาครั้งนี้ ตลอดจนห้องปฏิบัติการงานวิจัย คณะทันตแพทยศาสตร์ มหาวิทยาลัยขอนแก่น

เอกสารอ้างอิง

- Asmussen E, Peutzfeldt A. Surface energy characteristics of adhesive monomers. *Dental Materials* 1998; 14(1): 21-8.
- Boyd RL, Baumrind S. Periodontal considerations in the use of bonds or bands on molars in adolescents and adults. *The Angle orthodontist* 1992; 62(2): 117-26.
- Buonocore MG. A simple method of increasing the adhesion of acrylic filling materials to enamel surfaces. *Journal of Dental Restoration* 1955; 34(6): 849-53.
- Eley BM, Cox SW. Mercury from dental amalgam fillings in patients. *British Dental Journal* 1987; 163(7): 221-6.
- Fonseca RG, de Almeida JG, Haneda IG, Adabo GL. Effect of metal primer on bond strength of resin cements to base metal. *Journal of Prosthetic Dentistry* 2009; 101(4): 262-8.
- Fukegawa D, Hayakawa S, Yoshida Y, Suzuki K, Osaka A, Van Meerbeek B. Chemical interaction of phosphoric acid ester with hydroxyapatite. *Journal of Dental Research* 2006; 85(10): 941-4.
- Germec D, Cakan U, Ozdemir FI, Aun T, Cakan M. Shear bond strength of brackets bonded to amalgam with different intermediate resins and adhesive. *European Journal of Orthodontics* 2009; 31(2): 207-12.
- Gianini M, Paulilo LA, Ambrosano GM. Effect of surface roughness on amalgam repair using adhesive systems. *Brazilian Dental Journal* 2002; 13(3): 179-83.
- Gross MW, Foley TF, Mamandras AH. Direct bonding to Adlloy-treated amalgam. *American Journal of Orthodontics and Dentofacial Orthopedics* 1997; 112(3): 252-8.
- Hassan AH. Shear bond strength of precoated orthodontic brackets: an in vivo study. *Clinical, Cosmetic and Investigational Dentistry* 2010; 2: 41-5.
- Inoue S, Koshiro K, Yoshida Y, De Munck J, Nagakane K, Suzuki K, *et al.* Hydrolytic stability of self-etch adhesives bonded to dentin. *Journal of Dental Research* 2005; 84(12): 1160-4.
- International standards organization. Guidance of testing of adhesion on amalgam. ISO/TR 11405 Dental materials 2015; 1-14.

- Jost-Brinkmann PG, Drost C, Cans S. In-vitro study of the adhesive strengths of brackets on metals, ceramic and composite. Part 1: Bonding to precious metals and amalgam. *Journal of Orofacial and Orthopedics* 1996; 57(2): 76-87.
- Kuntharaporn P, Winarakwong L, Charoenying H. A comparison of shear bond strength between orthodontic brackets bonded to tooth surfaces and orthodontic brackets bonded to enamel surfaces with amalgam. *Journal of Thai Association of Orthodontics* 2008; 7: 15-23.
- Lim HN, Kim SH, Yu B, Lee YK. Influence of HEMA content on the mechanical and bonding properties of experimental HEMA-added glass ionomer cements. *Journal of Applied Oral Science* 2009; 17(4): 340-9.
- Mandall NA, Millett DT, Mattick CR, Hickman J, Worthington HV, Macfarlane TV. Orthodontic adhesives: a systematic review. *Journal of Orthodontics* 2002; 29: 205-10.
- Nergiz I, Schmage P, Herrmann W, Ozcan M. Effect of alloy type and surface conditioning on roughness and bond strength of metal brackets. *American Journal of Orthodontics and Dentofacial Orthopedics* 2004; 125(1): 42-50.
- Oskoe PA, Kachoei M, Rikhtegaran S, Fathalizadeh F, Navimipour EJ. Effect of surface treatment with sandblasting and Er,Cr:YSGG laser on bonding of stainless steel orthodontic brackets to silver amalgam. *Medicina Oral Patologia Oral y Cirugia Bucal* 2012; 17(2): 292-6.
- Owens Jr SE, Miller BH. A Comparison of Shear Bond Strengths of Three Visible Light-Cured Orthodontic Adhesives. *The Angle Orthodontist* 2000; 70(5): 352-6.
- Öztürk B, Malkoç S, Koyutürk AE, Çatalbaş B, Özer F. Influence of different tooth types on the bond strength of two orthodontic adhesive systems. *European Journal of Orthodontics* 2008; 30(4): 407-12.
- Powers JM, Kim HB, Turnur DS. Orthodontic adhesives and bond strength testing. *Seminar in Orthodontics* 1997; 3(3): 147-56.
- Reynolds IR. A review of direct orthodontic bonding. *British Journal of Orthodontics* 1975; 2(3): 171-8.
- Roeters JJ. A simple method to protect patient and environment when using sandblasting for intraoral repair. *Journal of Adhesive Dentistry* 1999; 2(3): 235-8.
- Scougall-Vilchis RJ, Zárate-Díaz C, Kusakabe S, Yamamoto K. Bond strengths of different orthodontic adhesives after enamel conditioning with the same self-etching primer. *Australian Orthodontics Journal* 2010; 26(1): 84-9.
- Setcos JC, Staninec M, Wilson NH. Restorative dentistry: the development of resin-bonding for amalgam restoration. *British Dental Journal* 1999; 186(7): 328-32.
- Shukla C, Singh G, Jain U, Swamy K. Comparison of mean shear bond strength of light cure, self-cure composite resins, self-etching and moisture-insensitive primers: An in vitro study. *Journal of Indian Orthodontics Society* 2012; 48(4): 254-7.
- Sperber RL, Watson PA, Rossouw PE, Sectakof PA. Adhesion of bonded orthodontic attachments to dental amalgam: In vitro study. *American Journal of Orthodontics and Dentofacial Orthopedics* 1999; 116(5): 506-13.
- Stewardson DA, Shortell AC, Marquis PA. The effect of clinically relevant thermocycling on the flexural properties of endodontic post materials. *Journal of dentistry* 2010; 38(5): 437-42.



- Suwanwitid P, Sirichumpun C. Comparison of the shear bond strength of metal brackets photo-activated by LED-curing devices with different light intensities. *Chulalongkorn University Dental Journal* 2014; 37: 259-66.
- Van Landuyt KL, Snauwaert J, De Munck J, Peumans M, Yoshida Y, Poitevin A, et al. Systematic review of the chemical composition of contemporary dental adhesives. *Biomaterials* 2007; 28(26): 3757-85.
- William AB, Theodore E. *Orthodontic materials scientific and clinical aspects*. New York: Thieme; 2001.
- Yetkiner E, Özcan, M. Adhesive strength of metal brackets on existing composite, amalgam and restoration-enamel complex following air-abrasion protocols. *International Journal of Adhesion and Adhesives* 2014; 54: 200-5.
- Yoshida Y, Yoshihara K, Nagaoka N, Hayakawa S, Torii Y, Ogawa T, *et al*. Self-assembled Nano-layering at the Adhesive interface. *Journal of Dental Research* 2012; 91(4): 376-81.
- Yoshida Y, Nagakane K, Fukuda R, Nakayama Y, Okazaki M, Shintani H, *et al*. Comparative study on adhesive performance of functional monomers. *Journal of Dental Research* 2004; 83(6): 454-8.
- Zachrisson BU, Buyukyilmaz T, Zachrisson YO. Improving orthodontic bonding to silver amalgam. *The Angle Orthodontist* 1995; 65(1): 35-42.
- Zachrisson BU, Buyukyilmaz T. Recent advances in bonding to gold, amalgam, and porcelain. *Journal of Clinical Orthodontics* 1993; 27(12): 661-75.